

где  $\hat{I}F \equiv \frac{1}{\pi i} \int_{-\infty}^{\infty} \frac{F(t) dt}{t - t_0}$ , а  $X^+$  и  $X^-$  — решения соответствующей однородной задачи

$$X^+ = \exp \left\{ \frac{1}{2\pi i} \int_{-\infty}^{\infty} \frac{\ln G dt}{t - t_0} \right\}, \quad X^- = \exp \left\{ \frac{1}{2\pi i} \int_{-\infty}^{\infty} \frac{\ln G dt}{t - t_0} \right\}. \quad (6)$$

Контур интегрирования в (6) пробегает всю действительную ось, обходя точку  $t_0$  снизу и сверху соответственно.

В общем случае интегралы в (6) могут быть найдены только численно. Если, однако, в задаче можно выделить малый параметр, результат легко получить в аналитическом виде как разложение в ряд по этому параметру.

Рассмотрим, например, случай малой гиротропии ( $\mu_a \ll \mu$ ). В нулевом приближении по параметру  $\mu_a/\mu$  находим

$$X^+ = X^- = 1, \quad \psi^+ = -f(-t), \quad \psi^- = -f(t). \quad (7)$$

Теперь неизвестные амплитуды Фурье  $h$  и  $h_1$  будут иметь вид

$$h_1 = \frac{[f - f(-t)]}{\Delta \sin(v_1 a)}, \quad h = \frac{[f - f(-t)]}{\Delta \sin[v(b-a)]}. \quad (8)$$

Подставляя эти выражения в (1), получим амплитуды возбуждающихся волн

$$T_{mn} = \frac{4\mu_a \gamma_m^2 \sin(ga)}{ik\mu^2 (\gamma_m^2 - \gamma_n^2)} \left( \frac{1}{\sin(v_1 a) \frac{d\Delta}{dt}} \right)_{(\gamma_n)}. \quad (9)$$

Здесь индекс  $m$  соответствует падающей волне, а индекс  $n$  — волне, возбуждающейся на торце.

#### ЛИТЕРАТУРА

1. А. Г. Гуревич, Ферриты на сверхвысоких частотах, Физматгиз, 1960.
2. В. И. Курилко, Изв. высш. уч. зав. — Радиофизика, 9, № 5, 980 (1966).
3. Б. Нобл, Метод Винера—Хопфа, ИЛ, М., 1962.
4. Н. Винер, И. О. Пэли, Преобразование Фурье в комплексной плоскости, изд. Наука, М., 1964.
5. Н. И. Мусхелишвили, Сингулярные интегральные уравнения, Физматгиз, М., 1962.
6. Ф. Д. Гахов, Краевые задачи, Физматгиз, М., 1963.
7. В. А. Буц, Украинский физический журнал.

Поступила в редакцию  
13 августа 1968 г.

УДК 621.372.823

### ДИФРАКЦИЯ НЕСИММЕТРИЧНЫХ ВОЛН НА ШИРОКОЙ ЩЕЛИ КРУГЛОГО ВОЛНОВОДА

Р. Б. Ваганов

Для описания распространения электромагнитных волн в волноводах, поперечные размеры которых велики по сравнению с длиной волны, приходится использовать как волноводные, так и оптические закономерности. Именно к таким, квазиоптическим, проблемам относится задача о широкой щели в многоволновом волноводе. Рассмотрим круглый волновод. Через  $a$  и  $L$  обозначим его радиус и наибольший размер щели, отсчитываемый вдоль образующей. Под щелью здесь имеется в виду любое отверстие в стенке волновода (рис. 1), причем предполагается, что все размеры больше длины волны, т. е. выполняются условия

$$ka \gg 1, \quad kL \gg 1, \quad (1)$$

где  $k$  — волновое число. Слева падает волна номера  $j = (q, n)$ , здесь  $q$  — радиальный, а  $n$  — азимутальный индексы. Большая часть энергии  $j$ -й волны проходит в правый

волновод в виде волны того же номера, меньшая часть излучается в щель и распределяется по волнам других номеров. Найти общие потери  $1 - |A_j|^2$  падающей волны и амплитуды  $A_m$  паразитных волн справа от отверстия позволяет асимптотический метод, предложенный в [1, 2]. Для определения поля в правом волноводе сначала одним из методов физической оптики находится приближенное значение поля на щели, затем по найденному полю обычными приемами теории возбуждения волноводов вычисляется искомое поле. В работе [1] рассмотрена щель в плоском волноводе, в [2] — волноводный крест и эквивалентный кресту излом волновода с плоским зеркалом. Потери симметричных волн круглого волновода в изломе и симметричной щели найдены в работах [2, 3]. В предлагаемой заметке теория переносится на несимметричные волны.

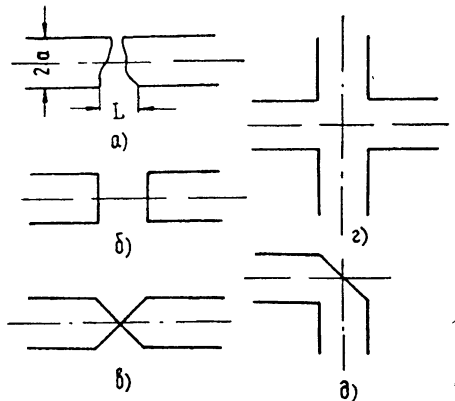


Рис. 1. Широкая щель в круглом волноводе:

а) произвольная широкая щель; б) симметричная щель; в) щель, эквивалентная волноводному кресту (г) и излому с плоским зеркалом (д).

Поле на щели ищется в приближении принципа Гюйгенса—Кирхгофа. Его расчет существенно упрощается при выполнении некоторых условий, когда поле на отверстии определяется структурой поля набегающей волны на поверхности  $z = \text{const}$  вблизи начала щели. Иными словами, щель освещается не всем фронтом  $j$ -й волны, а лишь небольшой ее частью, примыкающей к стенке. Для  $z=L$  размер этой части наибольший и имеет порядок первой зоны Френеля, т. е.  $\sqrt{L/k}$ . Если величина  $\sqrt{L/k}$  мала по сравнению с поперечными размерами волновода, то появляется параметр малости задачи

$$\mu = \sqrt{L/ka^2} \ll 1 \tag{2}$$

и, следовательно, кроме условий (1) выполняется условие  $kl \ll (ka)^2$ .

Поле, примыкающее к левой кромке щели, удобно записать в декартовых координатах  $(\xi, \eta)$  в малой окрестности точки  $(r=a, \varphi, z=0)$ :

$$E_\xi^j = H_\eta^j = B_1 \begin{bmatrix} \pm \cos(n_j \varphi) \\ \sin(n_j \varphi) \end{bmatrix} (\nu_j/a) \eta, \tag{3}$$

$$E_\eta^j = -H_\xi^j = B_2 \begin{bmatrix} \mp \sin(n_j \varphi) \mp (n_j/a) \xi \cos(n_j \varphi) \\ \cos(n_j \varphi) - (n_j/a) \xi \sin(n_j \varphi) \end{bmatrix}.$$

Здесь  $\xi$  направлена по касательной к стенке,  $\eta$  — вдоль радиуса,  $\xi, \eta$  и  $z$  образуют правую тройку. Верхний знак относится к магнитным, нижний — к электрическим волнам. Для магнитных волн  $\nu_j$  — корень уравнения  $J_n' = 0$ ,  $B_2 = n_j \nu_j B_1 / (\nu_j^2 - n_j^2)$  для электрических — корень уравнения  $J_n = 0$ ,  $B_2 = -\nu_j B_1 / n_j$  ( $B_1$  — нормировочный коэффициент). Контур щели не является, конечно, прямой линией, он изгибается в плоскости  $(\xi, \eta)$ , а в некоторых случаях и в плоскости  $(\xi, z)$ . Этим изгибом можно пренебречь, если справедливо неравенство (2). Нетрудно видеть, что поле на щели определяется полем (3) при выполнении несколько более жесткого условия

$$\nu_j \mu \ll 1. \tag{4}$$

Выпишем поле на щели. Электрическое поле равно

$$E_\varphi = \pm i^{3/2} B_1 (\nu_j/a) \sqrt{z/k} \frac{e^{-ikz}}{\sqrt{2\pi}} \begin{bmatrix} \pm \cos(n_j \varphi) \\ \sin(n_j \varphi) \end{bmatrix}, \tag{5}$$

$$E_z = -i^{3/2} B_2 \frac{1}{\sqrt{kz}} \frac{e^{-ikz}}{\sqrt{2\pi}} \begin{bmatrix} \mp \sin(n_j \varphi) \\ \cos(n_j \varphi) \end{bmatrix}.$$

причем координата  $z$  отсчитывается от левой кромки щели. Магнитное поле в  $\mu$ -приближении оказалось равным половине магнитного поля набегающей волны у стенки регулярного волновода.

Теперь уже нетрудно стандартным методом [4] найти амплитуды волн, рассеянных в правом волноводе.

$$A_m = \delta_{jm} + \frac{1}{kh_m} \int (E_\varphi \hat{H}_z^m - E_z \hat{H}_\varphi^m) dS. \quad (6)$$

Здесь интегрирование производится по отверстию,  $\hat{H}_z^m$  и  $\hat{H}_\varphi^m$  — вспомогательные поля,  $h_m = \sqrt{k^2 - \nu_m^2/a^2}$ . Опуская элементарные вычисления, выпишем некоторые результаты. Потери магнитной волны в симметричной щели выражаются формулой

$$1 - |A_j|^2 = \frac{2n_j^2}{\sqrt{\pi}(\nu_j^2 - n_j^2)} \mu. \quad (7)$$

Мы ограничились членом старшего порядка по  $\mu$  и, соответственно, величиной  $E_z \hat{H}_\varphi^m$  под интегралом в (6). Зная поле на отверстии, легко найти энергию, ушедшую в щель. Оказывается, что излучению в щель обязана половина потерь (7), а оставшаяся половина — преобразованию в прямые паразитные волны. Для волн высших радиальных порядков характер зависимости потерь от  $\mu$  меняется. Это связано с тем, что кроме параметра малости  $\mu$  при фиксированном  $n_j$  появляется большой параметр  $\nu_j \gg n_j$ . При этом следует учитывать член разложения по  $\mu$ , пропорциональный  $\mu^3 \nu_j^2$ , который получается,

если принять во внимание  $E_\varphi \hat{H}_z^m$  под интегралом в (6):

$$1 - |A_j|^2 = \frac{2}{\sqrt{\pi}} \left( \frac{n_j^2}{\nu_j^2} \mu + \nu_j^2 \mu^3/3 \right). \quad (8)$$

С ростом  $\nu_j$  первое слагаемое быстро уменьшается, а второе растет. При  $\nu_j = (n_j \sqrt{3}/\mu)^{1/2}$  достигаются минимальные потери, равные  $4n_j \mu^2 / \sqrt{3\pi}$ . Заметим, что условие (4) при этом должно оставаться справедливым. С дальнейшим увеличением номера волны преобладающим становится второе слагаемое, а потери — пропорциональными третьей степени параметра малости. Для симметричных волн формула (8) совпадает с результатом, полученным в [3].

Потери электрических волн в симметричной щели в первом порядке по  $\mu$  не зависят от собственного значения и равны

$$1 - |A_j|^2 = \frac{2}{\sqrt{\pi}} \mu. \quad (9)$$

Нетрудно получить выражение для потерь несимметричных волн в волноводном кресте и изломе с плоским зеркалом. Так, например, для волны  $H_{11}$  потери в изломе на угол  $\beta$  равны

$$1 - |A_j|^2 = \frac{C}{(ka \sin \beta)^{1/2}}, \quad C = \frac{4}{5(\nu_j^2 - 1) \Gamma^2(1,25)}, \quad (10)$$

если зависимость  $E_r$  от азимутального угла имеет вид  $E_r = E_{r0} \sin \varphi$ , а радиус  $\varphi = 0$  лежит в плоскости излома. Для скрещенной поляризации, т. е. для волны с  $E_r = E_{r0} \cos \varphi$ , коэффициент  $C$  больше (10) в 1,5 раза. Потери волны  $H_{21}$  определяются выражением, аналогичным (10),

$$1 - |A_j|^2 = \frac{D}{(ka \sin \beta)^{1/2}}, \quad D = \frac{16}{15(\nu_j^2 - 4) \Gamma^2(1,25)}, \quad (11)$$

если  $E_r = E_{r0} \sin(2\varphi)$ . Для другой ориентации волны  $H_{21}$ , когда  $E_r = E_{r0} \cos(2\varphi)$ , потери в 4,5 раза больше (11).

На рис. 2 проведено сравнение потерь волн  $H_{11}$ ,  $H_{21}$  и  $E_{11}$ , вычисленных по формулам (7) и (9), с экспериментальными данными. Радиус волновода — 3 см, длина волны — 0,8 см. Волна  $H_{11}$  формировалась обычным переходом от прямоугольного волновода к круглому, волны  $H_{21}$  и  $E_{11}$  — дифракционными возбудителями [3]. Щель симметричная; для уменьшения влияния торцов в них вставлялись тонкие латунные цилиндры, выступавшие из открытых концов волноводов. Измерения велись методом замещения. При изменении ширины щели на монотонную зависимость выходного сигнала от  $L$  накладывались колебания, вызванные, в частности,

многократным рассеянием на торцах [6] Следует отметить, что полученные формулы удовлетворительно совпадают с экспериментальными данными при  $\mu < 0,3 \div 0,4$  и могут быть использованы для асимптотической оценки потерь в щели круглого волновода.

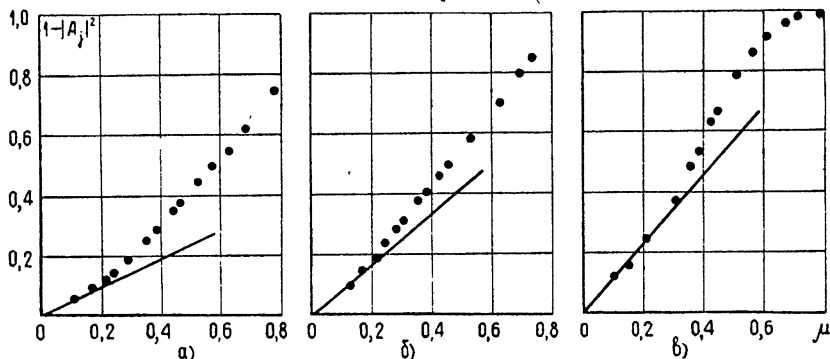


Рис 2. Потери несимметричных волн в щели круглого волновода:  
а) волна  $H_{1,1}$ , б) волна  $H_{2,1}$ , в) волна  $E_{1,1}$ .

В заключение автор считает своим приятным долгом поблагодарить Б. З. Каценеленбаума и М. И. Петелина за ценную дискуссию.

#### ЛИТЕРАТУРА

1. Б. З. Каценеленбаум, ДАН, 144, 322 (1962)
2. Б. З. Каценеленбаум, Радиотехника и электроника, 8, 1111 (1963)
3. Р. Б. Ваганов, Радиотехника и электроника, 8, 1264 (1963)
4. Л. А. Вайнштейн, Электромагнитные волны, изд. Сов. радио, М., 1957
5. В. В. Мериакри, Исследование потерь волны  $H_{0,1}$  на преобразование в линиях со случайными неоднородностями, Диссертация, М., 1963
6. Б. В. Костров, Е. И. Нефёдов, Радиотехника и электроника, 9, 649 (1964)

Институт радиотехники и электроники  
АН СССР

Поступила в редакцию  
27 февраля 1968 г.

УДК 621.378.527

### О ВОЗМОЖНОМ МЕТОДЕ ЗАЩИТЫ КПУ ОТ НАСЫЩЕНИЯ

*Н. Т. Черпак, Я. Л. Шамфаров*

Применение квантовых парамагнитных усилителей (КПУ) в импульсных радиолокационных станциях сопряжено с необходимостью защиты КПУ от насыщения просачивающейся на вход приемной системы мощностью передатчика. Наиболее простым и эффективным методом защиты является метод отвода магнитного поля от резонансного значения на время излучения зондирующего импульса. Это достигается при помощи импульса магнитного поля, приложенного параллельно вектору статистического поля  $H_0$  и возбуждаемого парой катушек Гельмгольца. Скорость, с которой можно изменять магнитное поле, определяется требованием адиабатичности процесса. Это означает, что изменения возмущения должны быть медленными по сравнению со скоростью внутренних процессов. В данном случае речь идет о частоте прецессии магнитных моментов электронов вокруг вектора магнитного поля  $H_0$ . Указанная частота совпадает с рабочей частотой КПУ. Таким образом, время изменения поля должно составлять несколько периодов рабочей частоты КПУ, т. е. требование адиабатичности процесса не является ограничивающим. Время перестройки магнитного поля в импульсе определяется постоянной времени катушек Гельмгольца, которые возбуждают импульс магнитного поля. В реальных системах постоянная катушек составляет обычно  $\sim 35$  мксек [1].

В данной заметке обсуждается возможность использования эффекта линейного